

Ecole « Physique Quantique Mésoscopique », Cargèse 3 - 14 Septembre 2012

Cours : Systèmes hybrides – supraconductivité, états d'Andreev, effet de proximité (aspects théoriques)

Manuel Houzet

I. Théorie BCS :

Hamiltonien BCS

Paires de Cooper

Excitations élémentaires : quasiparticules de Bogoliubov

Effet de parité

II. Jonctions tunnel hybrides

1. Jonctions N/I/N

Transmission d'un point contact atomique

2. Jonctions N/I/S

a. Courant de quasiparticules

Thermométrie et refroidissement

b. Courant d'Andreev

i. Réflexion d'Andreev, courant d'excès

ii. Réflexion d'Andreev croisée

3. Jonctions S/I/S

a. Courant de quasiparticules

b. Etat lié d'Andreev

i. Etat lié

ii. Effets Josephson dc et ac - SQUID, marches de Shapiro

c. Réflexions d'Andreev multiples – « structures sous le gap »

4. Jonctions S/point quantique/S

a. Transition singulet/doublet

b. Jonction π dans l'état doublet

c. Compétition entre l'effet Kondo et la supraconductivité

III. Jonctions métalliques hybrides

1. Réflexions d'Andreev et réflexions d'Andreev multiples incohérentes

a. Courant dans les jonctions N, N/S et S/N/S incohérentes

b. Bruit en courant et charge effective

2. Effets cohérents : effet de proximité

a. Jonctions S/N/S balistiques

Minigap

b. Jonctions S/I/N/I/S diffusives

Courant critique, minigap

c. Effet de proximité S/F

i. Antagonisme de la supraconductivité et du magnétisme

ii. Effet de proximité oscillant à courte portée

iii. Effet de proximité triplet à longue portée

Systèmes hybrides - supraconductivité, état d'Andreev, effet de proximité (aspects théoriques)

Manuel HOUZET

Ecole Angers Physique Mésscopique

II Théorie BCS

• Hamiltonien BCS

$$H = \sum_{\mathbf{k}\sigma} \xi_{\mathbf{k}} a_{\mathbf{k}\sigma}^+ a_{\mathbf{k}\sigma} - |2| \sum_{\mathbf{k}\mathbf{k}'\mathbf{q}} a_{\mathbf{k}+\mathbf{q}\sigma}^+ a_{\mathbf{k}'-\mathbf{q}\sigma}^+ a_{\mathbf{k}\sigma} a_{\mathbf{k}'\sigma}$$

métal normal

$$\xi_{\mathbf{k}} = \frac{\hbar^2}{2m} - \mu : \text{ grand canonique}$$

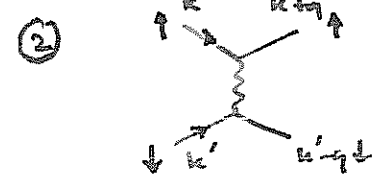
$\sigma = \uparrow, \downarrow$ spin

① attraction entre les électrons

$$(-1) \int d\mathbf{r} \psi_{\mathbf{k}}^+(\mathbf{r}) \psi_{\mathbf{k}'}^+(\mathbf{r}) \psi_{\mathbf{k}}(\mathbf{r}) \psi_{\mathbf{k}'}(\mathbf{r})$$

$$= (-1) \langle \psi_{\mathbf{k}}(\mathbf{r}) \psi_{\mathbf{k}'}(\mathbf{r}) \rangle_{\text{moyenne quantique-statistique}}$$

canal d'interaction singulet



• champ vectoriel $\Delta = -1/2 \sum_{\mathbf{k}} \langle a_{\mathbf{k}\uparrow} a_{\mathbf{k}\downarrow} \rangle$ paire complète

↳ formation de paires de Cooper de 2 électrons de spins et quantité de vecteur opposé

$$\bullet a_{\mathbf{k}\uparrow} a_{\mathbf{k}\downarrow} \approx \langle a_{\mathbf{k}\uparrow} a_{\mathbf{k}\downarrow} \rangle \delta_{\mathbf{k}\mathbf{k}'} + \underbrace{a_{\mathbf{k}\uparrow} a_{\mathbf{k}\downarrow} - \langle a_{\mathbf{k}\uparrow} a_{\mathbf{k}\downarrow} \rangle}_{\text{"petit"}}$$

$$\hookrightarrow H = \sum_{\mathbf{k}\sigma} \xi_{\mathbf{k}} a_{\mathbf{k}\sigma}^+ a_{\mathbf{k}\sigma} + \Delta \sum_{\mathbf{k}} a_{\mathbf{k}\uparrow}^+ a_{\mathbf{k}\downarrow} + \Delta^* \sum_{\mathbf{k}} a_{\mathbf{k}\downarrow}^+ a_{\mathbf{k}\uparrow} + \text{Oscillations mémoire !}$$

Hamiltonien quadratique, donc diagonalisable facilement !

$$H = \sum_{\mathbf{k}} (a_{\mathbf{k}\uparrow}^+ a_{\mathbf{k}\downarrow}) \begin{pmatrix} \xi_{\mathbf{k}} & \Delta \\ \Delta^* & -\xi_{\mathbf{k}} \end{pmatrix} (a_{\mathbf{k}\uparrow}^+ a_{\mathbf{k}\downarrow})$$

↳ grand canonique et Hamiltonien en champ vectoriel ne concernent pas le nombre d'électrons.

$$\begin{aligned} h_0 &= \xi_{\mathbf{k}} z_3 + \Delta' z_1 - \Delta'' z_2 \\ &= e^{i\frac{\theta}{2} z_3} (\xi_{\mathbf{k}} + i\Delta z_1) e^{-i\frac{\theta}{2} z_3} \\ &= e^{i\frac{\theta}{2} z_3} e^{i\frac{\theta}{2} z_2} E_{\mathbf{k}} z_3 e^{-i\frac{\theta}{2} z_2} e^{-i\frac{\theta}{2} z_3} \end{aligned}$$

$$\left(\begin{array}{c} a_{\mathbf{k}\uparrow}^+ \\ a_{\mathbf{k}\downarrow}^+ \end{array} \right) = e^{-i\frac{\theta}{2} z_2} e^{-i\frac{\theta}{2} z_3} \left(\begin{array}{c} a_{\mathbf{k}\uparrow}^+ \\ a_{\mathbf{k}\downarrow}^+ \end{array} \right)$$

$$E_{\mathbf{k}} = \sqrt{\xi_{\mathbf{k}}^2 + |\Delta|^2}$$

$$E_{\mathbf{k}} \partial_{\theta} = \frac{|\Delta|}{\xi_{\mathbf{k}}}$$

$$\text{i.e. } H = \sum_{\mathbf{k}} E_{\mathbf{k}} (a_{\mathbf{k}\uparrow}^+ a_{\mathbf{k}\downarrow} - a_{\mathbf{k}\downarrow}^+ a_{\mathbf{k}\uparrow})$$

$$= \sum_{\mathbf{k}\sigma} E_{\mathbf{k}} a_{\mathbf{k}\sigma}^+ a_{\mathbf{k}\sigma}$$

$$\text{avec } a_{\mathbf{k}\sigma} = u_{\mathbf{k}\sigma} e^{i\frac{\theta}{2}} a_{\mathbf{k}\sigma} - \sigma v_{\mathbf{k}\sigma} e^{-i\frac{\theta}{2}} a_{\mathbf{k}\sigma}^*$$

$$(a_{\mathbf{k}\sigma} = e^{\pm i\frac{\theta}{2}} (u_{\mathbf{k}\sigma} a_{\mathbf{k}\sigma} + \sigma v_{\mathbf{k}\sigma} a_{-\mathbf{k}\sigma}^*))$$

= Transformation de Bogoliubov

$$u_k = \cos \theta_k = \sqrt{\frac{1}{2}(1 + \frac{E_k}{E_F})}$$

$$v_k = \sin \theta_k = \sqrt{\frac{1}{2}(1 - \frac{E_k}{E_F})}$$

NB: $u_k \theta_k = \frac{E_k}{E_F}$
 $= U_k^2 - V_k^2$

- Etat fondamental = condensat de paires de Cooper

ϕ = phase d'une fonction d'onde associé à un paire de charge ($2e$)
 [cf. éq de Schrödinger]

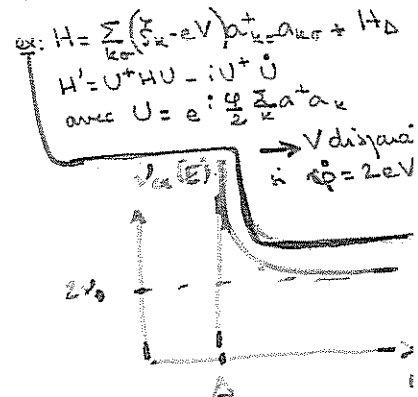
↳ combinaisons invariantes du jauge $\partial \in \phi - \frac{2eV}{\hbar}$ en présence
 $\partial \times \phi + 2eA$

d'un potentiel électrique ou vecteur.

Le paire vectoriel est conservé rigoureusement. ↗

- Gap dans le spectre des excitations:

$$\begin{aligned} \gamma_s(E) &= \sum_k \delta(E - E_k) \quad \text{par spin} \\ &= N \int d\vec{k} \delta(E - \epsilon(\vec{k})) \quad \text{avec } \epsilon(\vec{k}) = \sqrt{E^2 - \Delta^2} \\ &= 2N \frac{E}{\sqrt{E^2 - \Delta^2}} = \Theta(E - \Delta) \end{aligned}$$



NB: $\int dE \gamma_s(E) = \int dE \gamma_n(E)$!

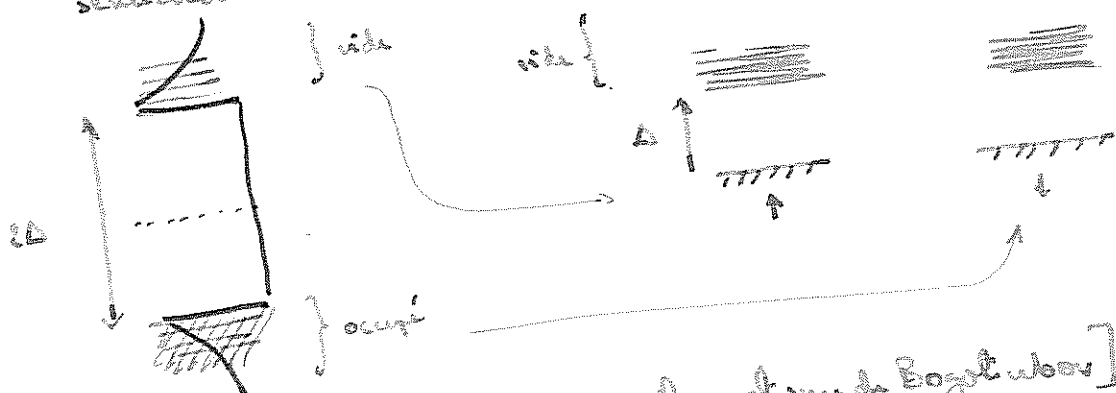
NB: - pour H: $\begin{cases} |k| > k_F & E_k = \xi_k \quad u_k = 1 \quad v_k = 0 \quad \text{"particule"} \\ |k| < k_F & E_k = -\xi_k \quad u_k = 0 \quad v_k = i \quad \text{"trou"} \end{cases}$

- pour S : mélange d'électrons et de trous! -

- Représentations équivalentes

semi-conductrice

quasi-particules



[spécie électron / son sous-jacent au fondement de Bogoliubov]

- Paire de Cooper créée → Gap Δ

(spécie électron ordinaire)

injection des électrons d'émission → gap Δ (transport)

• Effet de paire ?

Grand canonique \rightarrow canonique : N fixé

Réerie BCS marche si les fluctuations quantiques sont petites

critère : écart moyen entre niveaux $\delta \ll \Delta$ $\delta = \frac{1}{\sqrt{N}}$

$$\text{i.e. } 1 \ll v_0 L^3 \Delta = m k_F L^3 \Delta = \frac{L^3}{\lambda_F^2 \xi_S}$$

$$L \gg (\xi_S \lambda_F^2)^{1/3} \quad \xi_S \sim \frac{v_F}{\Delta} \quad \text{longueur de cohérence super}$$

N paire : condensat de paire Cooper

$$E = E_{\text{cond}}$$

N impair : condensat + 1 excitation

$$E = E_{\text{cond}} + \Delta$$

Effet de paire dès que $T < \Delta$?? NON

$$\begin{aligned} Z_{\text{even}} &= 1 \\ Z_{\text{odd}} &= \sum_{k_\alpha} e^{-\frac{\epsilon_k}{T}} \approx 2 \sqrt{\pi} \int d\xi e^{-\frac{\Delta + \xi^2/2\Delta}{T}} \\ &\approx 2 \gamma_s \sqrt{\frac{4\pi T \Delta}{\delta}} e^{-\frac{\Delta}{T}} \end{aligned} \quad T \ll \Delta$$

$$F_{\text{odd}} - F_{\text{even}} = -T \ln Z_{\text{odd}} + T \ln Z_{\text{even}}$$

$$= \Delta - T \ln \frac{\sqrt{8\pi T \Delta}}{\delta}$$

$$\text{i.e. } T^* \sim \frac{\Delta}{\ln \Delta/\delta} \ll \Delta !$$

• Δ fixé par une équation d'autocohérence: (cf. BCS theory)

$$\Delta = +|\Delta| \sum_k \Re e^{i\phi_{kk}} u_k v_k \tanh \frac{E_k}{2T} \quad u_k v_k = \frac{|\Delta|}{2E_k}$$

$$1 = \frac{|\Delta|}{2} \sum_k \frac{1}{E_k} \Re \frac{E_k}{2T} \rightarrow \Delta(T)$$

divergence log \rightarrow coupure à hautes énergies (Ω_D)

NB: Régime considéré:

$$\delta \ll \Delta \ll \Omega_D, E_F$$

Énergie de Fermi

cut-off par l'interaction d'appareil (fréquence de Debye pour mécanisme électro-phononique)

II] Junctions tunnel hybrides

1) Junction N/I/N

$$H = \sum_{k\sigma} \xi_k a_{k\sigma}^+ a_{k\sigma} + \sum_{p\sigma} \xi_p b_{p\sigma}^+ b_{p\sigma} + H_T$$
$$H_T = E \sum_{kp\sigma} a_{k\sigma}^+ b_{p\sigma} + \text{h.c.}$$

↑ correspond à un contact pondéré

$$H_T \propto E \psi_B^+(x=0) \psi_R^{(x=0)} + \text{h.c.}$$

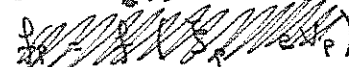
Règle d'nde Fermi :

$$\Gamma_{L \rightarrow R} = 2\pi \sum_{kp\sigma} |t|^2 f_k(1-f_p) \delta(\xi_k - \xi_p - eV)$$

$$V = V_L - V_R$$

$$(e > 0)$$

$$\Gamma_{R \rightarrow L} = 2\pi \sum_{kp\sigma} |t|^2 f_p(1-f_k) \delta(\xi_k - \xi_p - eV)$$



$$f_k = f(\xi_k) = \frac{1}{1 + e^{\xi_k/T}} \quad \text{fonction de Fermi}$$

$$I = -e(\Gamma_{L \rightarrow R} - \Gamma_{R \rightarrow L})$$



$$= -4\pi e \sum_{kp} |t|^2 (f_k - f_p) \delta(\xi_k - \xi_p - eV)$$

$$= 4\pi e^2 V_L V_R |t|^2 \propto V$$

$$G_N = \frac{2e^2}{\pi} \cdot D$$

$$\text{transmission } T = 4\pi^2 V_L V_R |t|^2 \ll 1$$

Remarque: * ordres supérieurs en t :

$$T = \frac{4\pi^2 V_L V_R |t|^2}{(1 + \pi^2 V_L V_R |t|^2)^2} \quad 0 \leq k \leq 1$$

* Hamiltonien tunnel

généralisable à des jactions étendues (multicanal)

2) Junction N/I/S

a) courant de quasi-particle

$$H = \sum_{k\sigma} \xi_k a_{k\sigma}^+ a_{k\sigma} + \sum_{p\sigma} \xi_p \beta_{p\sigma}^+ \beta_{p\sigma} + H_T$$

$$H_T = E \sum_{kp\sigma} a_{k\sigma}^+ [V_p \beta_{p\sigma} + \tau V_p \beta_{p\bar{\sigma}}^+] + \text{h.c.}$$

choix de jauge

$$\begin{cases} V_R = 0 \\ \psi = v_F t \end{cases}$$

Réglage d'in de Fermi:

la phase supra ne joue pas de rôle

$$\Gamma_{L \rightarrow R} = 2 \times 2\pi \sum_{kp} |t|_k^2 \left[v_p^2 f_k (1 - f_p) \delta(\xi_k - \epsilon_p - eV) + v_p^2 f_k f_p \delta(\xi_k + \epsilon_p - eV) \right]$$

$$\Gamma_{R \rightarrow L} = 2 \times 2\pi \sum_{kp} |t|_k^2 \left[v_p^2 (-f_k) f_p \delta(\xi_k - \epsilon_p - eV) + v_p^2 (-f_k) (1 - f_p) \delta(\xi_k + \epsilon_p - eV) \right]$$

$$f_k = f(\xi_k) \quad v_p(\xi) = \sum_n \delta(\xi - \xi_n) \quad \text{seul } 1/2 \text{ suffit à la somme sur } p.$$

$$f_p = f(\epsilon_p) \quad v_{S,\infty}(E) = \sum_p \delta(E - \epsilon_p)$$

$$\Gamma_{L \rightarrow R} = 2\pi |t|^2 \int_{-\infty}^{+\infty} dE \int d\xi v_p(\xi) v_{S,\infty}(E) \left\{ f(\xi) [1 - f(E)] \delta(\xi - E - eV) + f(\xi) f(E) \delta(\xi + E - eV) \right\}$$

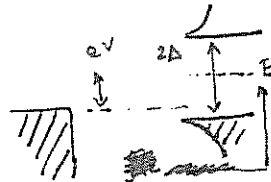
~~$$= 2\pi |t|^2 \int_{-\infty}^{+\infty} dE \int d\xi v_p(\xi) v_{S,\infty}(E) \left[f(\xi) [1 - f(E)] \delta(\xi - E - eV) + f(\xi) f(E) \delta(\xi + E - eV) \right]$$~~

~~$$= 2\pi |t|^2 \int_{-\infty}^{+\infty} d\xi v_p(\xi) v_{S,\infty}(E) \left[f(\xi) [1 - f(E)] \delta(\xi - E - eV) + f(\xi) f(E) \delta(\xi + E - eV) \right]$$~~

$$= 2\pi |t|^2 \int_{-\infty}^{+\infty} d\xi \int_{-\infty}^{+\infty} dE v_p(\xi) v_{S,\infty}(E) \left[f(\xi) [1 - f(E)] \delta(\xi - E - eV) \right. \\ \left. + f(\xi) f(E) \delta(\xi + E - eV) \right]$$

$$I = -e (\Gamma_{L \rightarrow R} - \Gamma_{R \rightarrow L})$$

$$= \frac{G_N}{e} \int dE \frac{|t|_E}{\sqrt{E^2 - \Delta^2}} \left[f(E) - f(E + eV) \right]$$



$\boxed{I = \frac{G_N}{e} \int dE \frac{|t|_E}{\sqrt{E^2 - \Delta^2}} [f(E) - f(E + eV)]}$

→ Convolution or convolution de DOS pondérés par distributions de Fermi des réservoirs

→ à T=0 seuil Δ pour le passage du courant

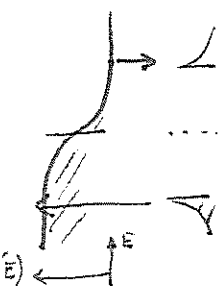
$$I = \frac{G_N}{e} \frac{4evF}{\sqrt{(ev)^2 - \Delta^2}} \Theta(|ev| - \Delta)$$

Plus généralement: mesure de DOS

• à T << Δ $\frac{\partial I}{\partial T} \propto e^{-\frac{\Delta}{T}}$ (quantité résiduelle)

↳ mesure précis de température (thermométrique)

(plus généralement: mesure de fonction de distib. hors équilibre)



→ transport thermique

$$\Gamma_{\text{out of } L}^h = 2\pi \sum_{k\sigma} |t|^2 \xi_k \left(f_u[1-f_\sigma] - f_p[1-f_u] \right) \delta(\xi_u - \xi_p - eV)$$

$$\Gamma_{\text{out of } R}^h = 2\pi \sum_{k\sigma} |t|^2 \xi_k \left[f_p(1-f_u) - f_u(1-f_p) \right] \delta(\xi_u - \xi_p - eV)$$

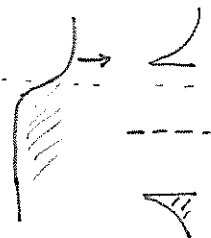
i) $\Gamma_{\text{out of } L}^h + \Gamma_{\text{out of } R}^h = -I(V) \times V$ Joule heating: chaleur déposée dans les résistances!

ii) état N: $\Gamma_{\text{out of } L}^h = 4\pi |t|^2 \gamma_L \gamma_R \int d\xi \xi [f(\xi) - f(\xi - eV)] = \Gamma_{\text{out of } R}^h = -\frac{1}{2} I^2$

iii) état S: $\Gamma_{\text{out of } N}^h = 4\pi |t|^2 \gamma_L \gamma_R \int dE \frac{|t|}{\sqrt{\epsilon^2 - \Delta^2}} (\epsilon + eV) [f(\epsilon + eV) - f(\epsilon)]$

$$\approx 4\pi |t|^2 \gamma_L \gamma_R \int_{-\infty}^{-\Delta} dE (eV - \Delta) \sqrt{\frac{\Delta}{2(-\epsilon - \Delta)}} [f(\epsilon + eV) - 1]$$

$T \ll D \cdot eV \ll \Delta$ $\Gamma_{\text{out of } N}^h = \cancel{\text{unintelligible}}$ $(\Delta - eV) e^{-\frac{\Delta - eV}{T}}$



$\boxed{\Gamma_{\text{out of } N}^h > 0}$ ⇒ les particules "lourdes" s'échappent de N

répondraient

b) Compte d'Andreev

- eV, kT ≪ Δ : on néglige les quasiparticules thermiquement activées excitations virtuelles possibles dans S :

$$H = \sum_{k\sigma} \xi_k a_{k\sigma}^\dagger a_{k\sigma} + \sum_{p\sigma} \epsilon_p \beta_{p\sigma}^\dagger \beta_{p\sigma} + H_T = H_N + H_S + H_T$$

↓
énergie > Δ

$$H_{\text{eff}} = H_N - H_T \frac{1}{H_S + H_N} H_T \quad \text{au second ordre en } H_T$$

Contribution négligeable $\xi_u \approx eV, kT \ll \Delta \sim \epsilon_p$

~~$$H_T = t e^{i\frac{\phi}{2}} \sum_{k\sigma} a_{k\sigma}^\dagger [\mu_p \beta_{p\sigma} + \sigma v_p \beta_{p\sigma}^\dagger] + t^* e^{-i\frac{\phi}{2}} \sum_{k\sigma} [\mu_p \beta_{p\sigma}^\dagger + \sigma v_p \beta_{p\sigma}] a_{k\sigma}$$~~

$$H_T = \sum_{k\sigma} (t e^{i\frac{\phi}{2}} v_p a_{k\sigma}^\dagger + t^* e^{-i\frac{\phi}{2}} v_p a_{k\sigma}) \beta_{p\sigma}^\dagger + \text{h.c.}$$

$$\begin{aligned}
 H_T^{\text{eff}} &= - \sum_{kq\sigma} (\sigma b e^{i\varphi} a_{k\bar{\sigma}}^+ + b^* e^{-i\varphi} a_{k\sigma}) \frac{1}{\epsilon_p} (\sigma b^* e^{i\varphi} a_{q\bar{\sigma}}^+ + b^* e^{-i\varphi} a_{q\sigma}) \\
 &= - \sum_{kq\sigma} b e^{-i\varphi} \left(\sum_p \frac{u_p v_p}{\epsilon_p} \right) a_{k\bar{\sigma}}^+ a_{q\sigma}^+ + \text{h.c.} \\
 &= \sum_{kq\sigma} |b|^2 \underbrace{\left(\sum_p \frac{v_p^2 - u_p^2}{\epsilon_p} \right)}_{=0} a_{k\bar{\sigma}}^+ a_{q\sigma}^+ \quad \sum_p \frac{u_p v_p}{\epsilon_p} = \nu \int d\bar{s} \frac{\Delta}{2\epsilon^2} \\
 &= \frac{\nu}{2} = \frac{2i\Delta}{2i\Delta}
 \end{aligned}$$

$$= \sum_{kq} \pi v_s b^2 e^{i\varphi} a_{k\uparrow}^+ a_{q\downarrow}^+ + \text{h.c.}$$

{ annihilation / création de deux électrons dans un état singulet
 énergie opposée par rapport au potentiel chimique du supraconducteur! (énergies $\ll \Delta$)

- Comme obtenu avec une règle d'ad. Fermi:

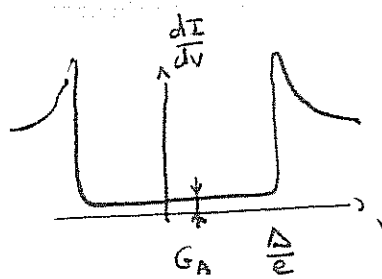
$$\vec{\Gamma}_A = 2\pi \sum_{kq} (\pi v_s |b|^2)^2 f_u f_q \delta(\xi_u + \xi_q - 2eV)$$

$$\vec{\Gamma}_A = 2\pi \sum_{kq} (\pi v_s |b|^2)^2 (1-f_u)(1-f_q) \delta(\xi_u + \xi_q - 2eV)$$

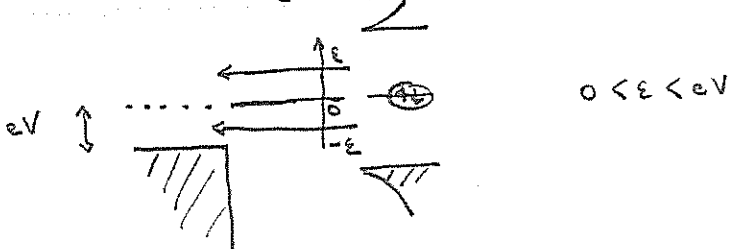
$$I_A = -2e(\vec{\Gamma}_A - \vec{\Gamma}_A) = 8\pi c^2 (\pi v_s |b|^2)^2 v_N V$$

$$G_A = \frac{4e^2}{h} \left(\frac{\Delta}{2}\right)^2$$

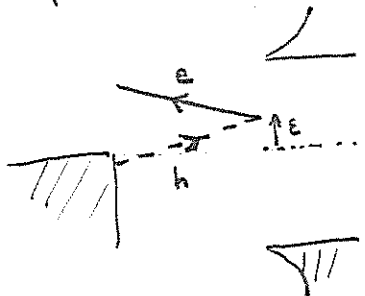
(→ signifie: courant d'électrons courant sous le gap.
 → réflexion d'Andreev :



pair de Cooper transférée en paire de deux électrons dans un état singulet et d'énergies opposées par rapport au potentiel chimique du supraconducteur



représentation équivalente :



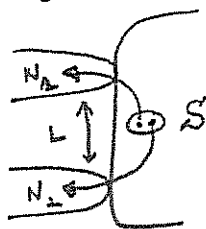
tron réfléchi en électron à la même énergie

parties $\pm h$ pour $e = h$

$$\Rightarrow \text{ordres supérieurs: } G_A = \frac{4e^2}{\hbar} R_A \quad R_A = \left(\frac{D}{2-D} \right)^{-1}$$

doublage de la conductance si $D = 1$

\rightarrow réflexion d'Andreev revisée



séparation spatial de la paire de Cooper possible si $L \approx \xi_S = \frac{\nu_F}{D}$

production d'une paire intriquée

$$(a_{1+}^+ a_{2+}^+ - a_{1+}^+ a_{2+}^+) |vac\rangle$$

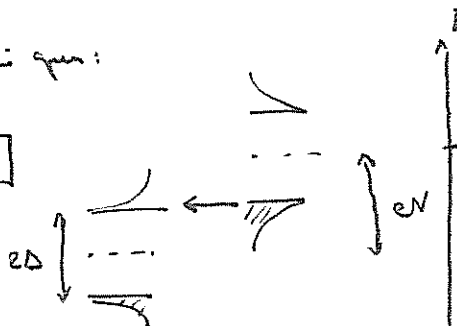
3) Junction S/I/S

a) courant de quasiparticules

On peut démontrer à nouveau avec la règle d'and Fermi que:

$$I = \frac{G_N}{e} \int dE \frac{v(E) v(E+eV)}{\sqrt{\frac{2}{\pi}}} [f(E) - f(E+eV)]$$

à $T=0$ sensibl de courant à $eV_a = 2\Delta$:



$$eV \gtrsim \Delta$$

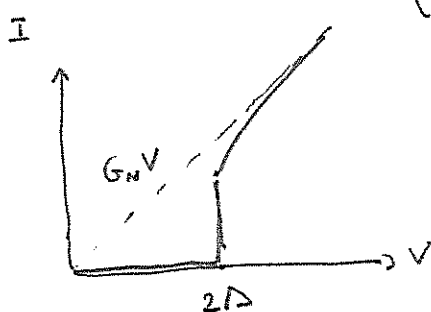
$$I = \frac{G_N}{e} \int_{\Delta-eV}^{-\Delta} \frac{IE(E+eV)}{\sqrt{(E^2-\Delta^2)((E+eV)^2-\Delta^2)}}$$

$$\approx \frac{G_N \Delta}{2e} \int_{\Delta-eV}^{-\Delta} \frac{1}{\sqrt{(E-\Delta)(E+eV-\Delta)}}$$

$$\approx \frac{G_N \Delta}{2e} \int_0^{eV-2\Delta} \frac{1}{\sqrt{(eV-2\Delta-E) \cdot E}}$$

$$\approx \frac{G_N \Delta}{2e} \int_0^1 \frac{dx}{\sqrt{x(1-x)}}$$

$$\approx \left(\frac{\pi}{4}\right) \cdot G_N \approx \frac{2\Delta}{e}$$



NB: pas de courant d'éros dans le limit $D \rightarrow 0$

b) Elt d'Andree - Effet Josephson

$$H = \sum_{k\sigma} E_k \alpha_{k\sigma}^+ \alpha_{k\sigma} + \sum_{p\sigma} E_p \beta_{p\sigma}^+ \beta_{p\sigma} + H_T$$

$$H_T = t e^{-i\frac{\varphi}{2}} \sum_{kp\sigma} [v_k \alpha_{k\sigma}^+ + \sigma v_k \alpha_{k\sigma}] [v_p \beta_{p\sigma} + \sigma v_p \beta_{p\sigma}^+] + h.c.$$

$$\varphi = \varphi_L - \varphi_R$$

On considère des quasi-particules voisines du gap, $E_k \approx \Delta + \frac{\xi_k^2}{2\Delta}$ $v_k, v_\sigma \approx \frac{1}{\hbar}$

Δ grand : restriction à un sous-espace à une quasi-particule ou plus :

$$H_T \approx \frac{t}{2} e^{-i\frac{\varphi}{2}} \sum_{kp\sigma} (\alpha_{k\sigma}^+ \beta_{p\sigma} - \beta_{p\sigma}^+ \alpha_{k\sigma}) + h.c.$$

$$= -it \sin \frac{\varphi}{2} \sum_{kp\sigma} (\alpha_{k\sigma}^+ \beta_{p\sigma} - \beta_{p\sigma}^+ \alpha_{k\sigma})$$

(t réel pour simplifier)

On pose $\gamma_{k\sigma} = \frac{1}{\sqrt{2}} (\alpha_{k\sigma} + i\beta_{k\sigma})$

$$\delta_{k\sigma} = \frac{1}{\sqrt{2}} (\alpha_{k\sigma} - i\beta_{k\sigma})$$

$$H = \sum_{k\sigma} E_k (\gamma_{k\sigma}^+ \gamma_{k\sigma} + \delta_{k\sigma}^+ \delta_{k\sigma}) + \sum_{kp\sigma} t \sin \frac{\varphi}{2} (-\gamma_{k\sigma}^+ \gamma_{p\sigma} + \delta_{k\sigma}^+ \delta_{p\sigma})$$

équivalent au Hamiltonien à 1d: $H = \frac{P^2}{2m} \pm U \delta(x)$
existence d'un état lié si $U < 0$

$$|\psi\rangle = \sum_k C_k \gamma_{k\uparrow}^+ |\text{vac}\rangle$$

$$(E - E_k) C_k + \sum_q t \sin \frac{\varphi}{2} C_q = 0$$

$$1 = \sum_k t \sin \frac{\varphi}{2} \sum_k \frac{1}{E_k - E}$$

$$\approx t \sin \frac{\varphi}{2} \sum_k \frac{1}{\Delta - E + \frac{\xi_k^2}{2\Delta}}$$

solution $E < \Delta$ si $t \sin \frac{\varphi}{2} > 0$ i.e. $0 < \varphi < \pi$ pour $\varphi > 0$

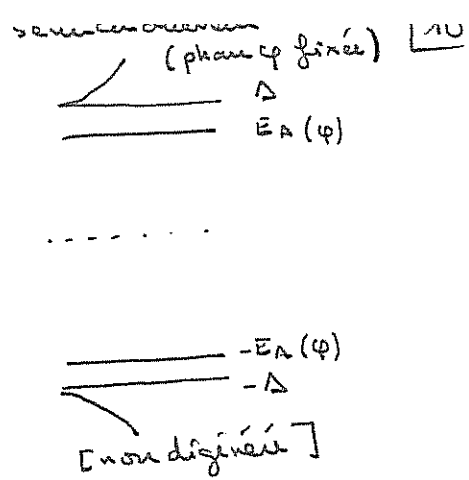
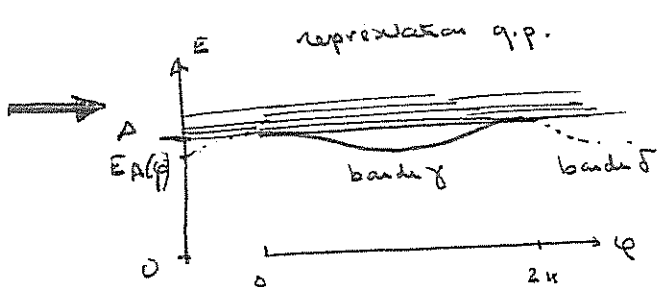
$$1 = \sqrt{\pi} t \sin \frac{\varphi}{2} \sqrt{\frac{2\Delta}{\Delta - E}}$$

$$\text{i.e. } E_A = \Delta - 2\Delta (\pi v_F)^2 \sin^2 \frac{\varphi}{2} = \Delta \left(1 - \frac{\Delta}{2} \sin^2 \frac{\varphi}{2}\right)$$

* doublement dégénéré en spin

* écart lié change de la bande γ à δ pour $\varphi = \frac{n}{2}\pi$ (n entier)

Changement du seuil d'énergie
→ changement de l'énergie totale



à l'équilibre: $T=0$

$$E_J = -E_A(\phi) + \text{contribution du continuum}$$

(indépendante de la phase)

→ Effets Josephson:

$$I = \frac{2e}{\hbar} \frac{dE_J}{d\phi} = \frac{2e}{\hbar} \frac{\Delta T}{\Delta \phi} \sin \phi = I_c \sin \phi$$

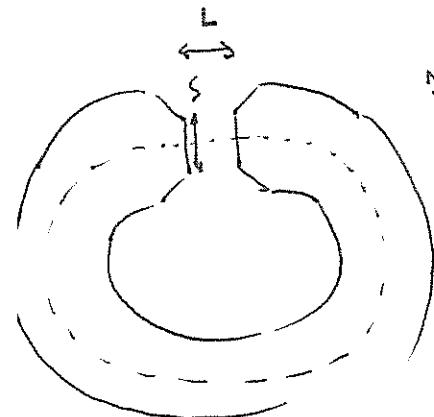
$$I_c = \frac{\pi}{2} \frac{G_N \Delta}{e}$$

comptant dissipatif = effet Josephson DC

relation d'Andreev-Gorkov-Barkhoff $eR_N I_c \sim \text{échelle d'ionique}$

$$\text{à } T \text{ finie: } E_J = -E_A(\phi) + \hbar \frac{E_A(\phi)}{2T} \approx$$

$$I_c \approx \frac{\pi}{2} G_N \Delta \hbar \frac{\Delta}{2T}$$



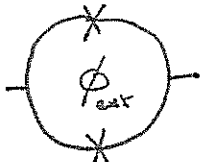
NB: $\left\{ \begin{array}{l} d\mu = -\frac{1}{c} \vec{j} \cdot d\vec{A} \quad \text{en densité d'énergie} \\ I = \vec{j} \cdot \vec{S} = -\frac{dE_J}{cLdA} = \frac{2e}{\hbar} \frac{dE_J}{d\phi} \quad \nabla \phi + \frac{2eA}{\hbar c} = 0 \\ d\phi = -\frac{2eAL}{\hbar c} \end{array} \right.$

$$\text{De plus: } \partial_t \phi - \frac{2eV}{\hbar} = 0 \quad \dot{\phi} = \frac{2eV}{\hbar}$$

$$V \text{ constant} \quad \phi = \frac{2eV}{\hbar} t = \omega_S t$$

$$I = I_c \sin \omega_S t \quad \text{effet Josephson ac}$$

squid



$$I = I_c \sin \phi + I_c \sin \left(\phi + \frac{2\pi \phi}{\Phi_0} \right)$$

$$I_c^{\text{tot}} \approx \left| I_c \sin \left(\pi \frac{\phi_{\text{ext}}}{\Phi_0} \right) \right|$$

$$\Phi_0 = \frac{\hbar}{2e}$$

Shapiro

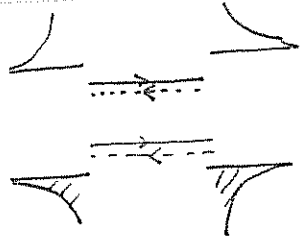
$$V = V_{dc} + V_{ac} \cos \omega t$$

$$\phi = \frac{2eV_{dc}}{\hbar} t \Rightarrow \frac{2eV_{dc}}{\hbar \omega} \sin \omega t + \text{cte}$$

⇒ plus de courant dc qu'ac

$$\omega = n \omega_3$$

→ Junction balistique



- deux réflexions d'Andreev successives
phase acquise à la réflexion:

$$\frac{\sigma(E)}{n(E)} = \sqrt{\frac{E - E_0}{E + E_0}} = \frac{E - i\sqrt{\Delta^2 - E^2}}{E + i\sqrt{\Delta^2 - E^2}}$$

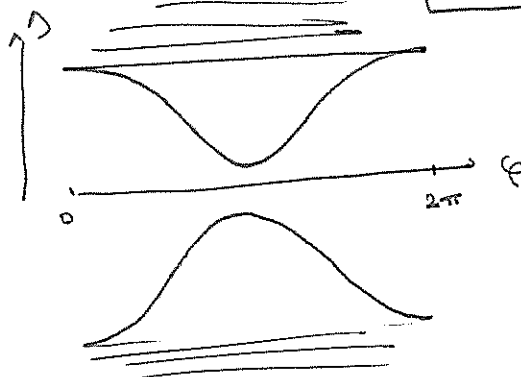
est une phase pour $|E| < \Delta$

quantification de Bohr-Sommerfeld:

$$2n\pi = \varphi + 2\arcsin \frac{E}{\Delta} \Rightarrow E = \pm \Delta \cos \frac{\varphi}{2}$$

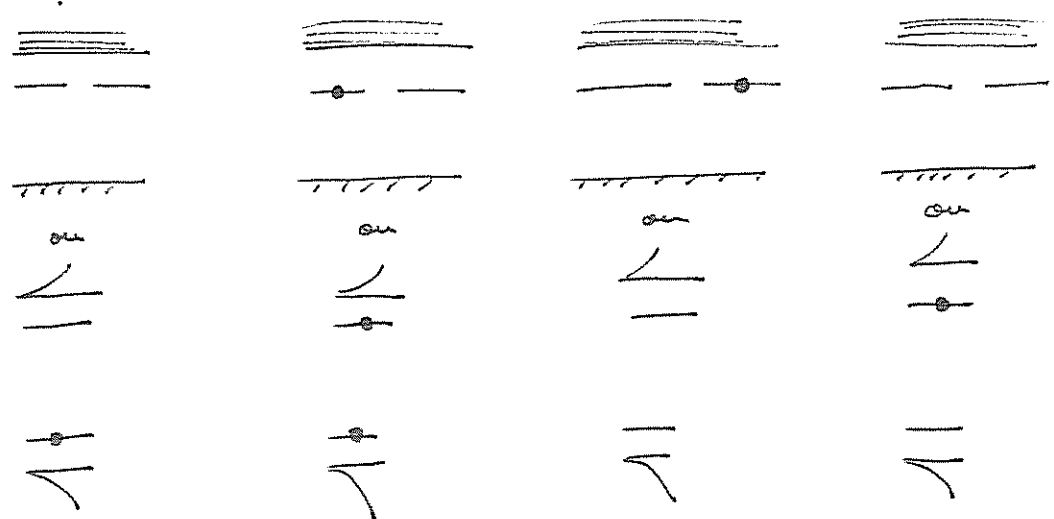
cas intermédiaires:

$$E_{\pm} = \pm \Delta \sqrt{1 - T \sin^2 \frac{\varphi}{2}}$$



La relation constant-phase hantement non sinusoidale.

→ Etats hors d'équilibre:



$|GS\rangle$

$E = -E_A$

$I = I_J$

$\gamma_{Ap}^+ |GS\rangle$

0

0

"quasi-particle poisoning"

$\gamma_{Ad}^+ |GS\rangle$

0

0

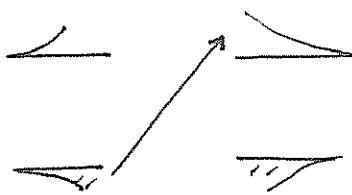
$+ E_A$

$- I_J$

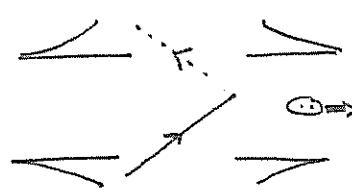
"junction ST" hors d'équilibre
 $I = -I_0 \sin \varphi = I_0 \sin(\varphi + \pi)$

c) Réflexion d'Andreev multiples

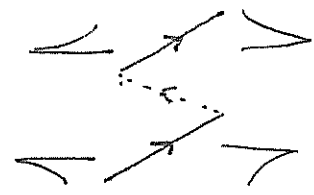
- comment sous le xiii?



$$eV > 2\Delta$$



$$eV > \Delta$$



$$eV > \frac{2\Delta}{3}$$

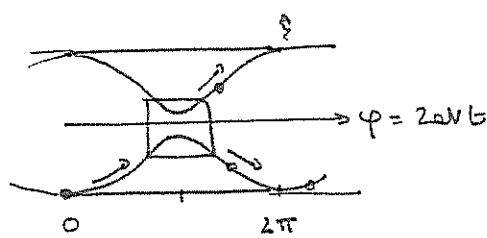
i.e. nouveaux canaux de courant dès que $eV_n = \frac{2\Delta}{n}$

$(n = \frac{2\Delta}{eV}$ nombre de réflexions d'Andreev)

"résonance MAR" dans la caractéristique I-V

- $V \rightarrow 0$

Justification balistique



~~Resonances~~ $\frac{2\pi}{2}$

$$\mathbf{H} = \begin{pmatrix} \Delta eVt & \Delta \sqrt{R} \\ \Delta \sqrt{R} & -\Delta eVt \end{pmatrix}$$

au voisin.
de $\varphi \approx \pi$

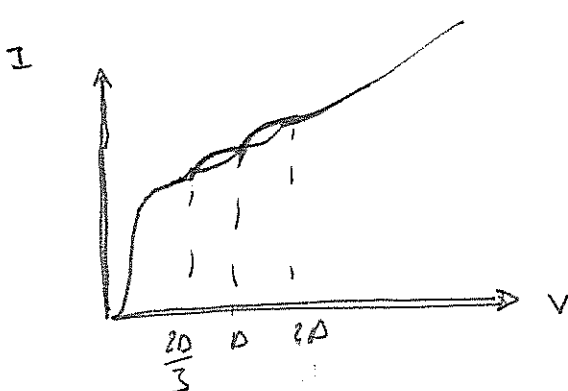
Landau-Zener

$$P_{LZ} = e^{-\frac{R\Delta}{eV}}$$

$$IV = \frac{2\Delta}{T_3} P_{LZ}$$

$$T_3 = \frac{2\pi}{zeV}$$

$$I \approx \frac{2}{\pi} \Delta e^{-\frac{R\Delta}{eV}}$$



"Sub Gap Structure" (SGS)

4) Junction S/dit/S

- 1 niveau discret couplé aux réservoirs
- interaction Coulombienne locale

Modèle d'Anderson

$$H = H_L + H_R + \varepsilon \sum_{\sigma} d_{\sigma}^+ d_{\sigma} + U n_{\uparrow} n_{\downarrow} + H_T$$

$$H_T = t_L \sum_{k\sigma} a_{k\sigma}^+ d_{\sigma} + \text{h.c.} + t_R \sum_{p\sigma} b_{p\sigma}^+ d_{\sigma} + \text{h.c.} \quad t_L = t_R$$

échelle d'énergie : $\varepsilon, \Delta, U, \Gamma_{\text{eff}} = 2\pi V_S t L^2$

(élargissement du niveau discret
à cause du couplage aux réservoirs)

a) Transition singulet/doublet

$$\left| \begin{array}{c} \frac{\psi}{2} \\ \frac{\psi}{2} \end{array} \right\rangle \xrightarrow{\varepsilon, U} \left| \begin{array}{c} -\frac{\psi}{2} \\ \frac{\psi}{2} \end{array} \right\rangle$$

On suppose $\Delta \gg \varepsilon, U, \Gamma_{\text{eff}}$

De la même façon que dans la sec. 3b), on obtient

$$H_{\text{eff}} = \varepsilon \sum_{\sigma} d_{\sigma}^+ d_{\sigma} + U n_{\uparrow} n_{\downarrow} + \underbrace{\pi V_S t^2 (e^{i\frac{\psi}{2}} + e^{-i\frac{\psi}{2}})}_{\Gamma \cos \frac{\psi}{2}} d_{\uparrow}^+ d_{\downarrow} + \text{h.c.}$$

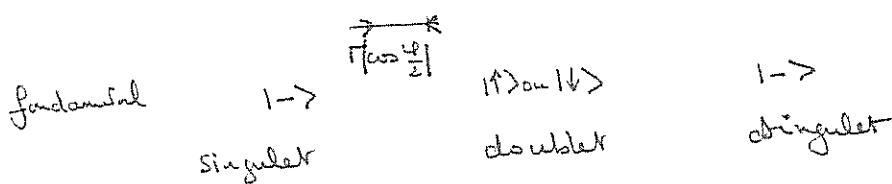
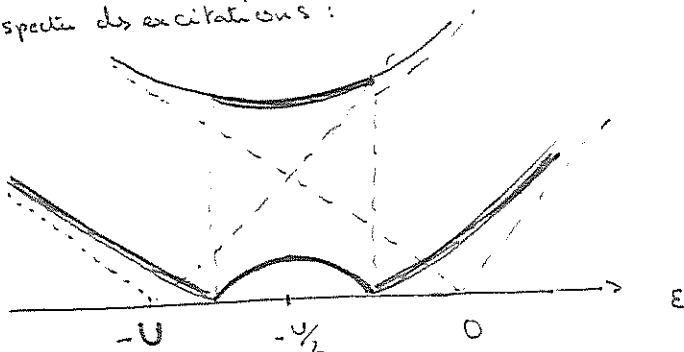
états propres d'énergie :

$$E_{\pm} = \varepsilon + \frac{U}{2} \pm \sqrt{\left(\varepsilon + \frac{U}{2}\right)^2 + \Gamma^2 \cos^2 \frac{\psi}{2}}$$

$$E_{\uparrow/\downarrow} = \varepsilon$$

spectre des excitations :

— : polarisation 1e
— : polarisation 2e



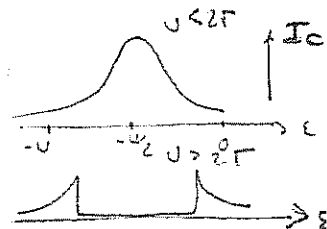
* état singulier/doublet si $U > 2\Gamma$
 ↓
 BOG ↗ combinaison

* région singulière: $E_- = \varepsilon + \frac{U}{2} - \sqrt{\left(\varepsilon + \frac{U}{2}\right)^2 + \Gamma^2 \cos^2 \frac{\varphi}{2}}$

$$I \sim \frac{2e}{h} \frac{\partial E_-}{\partial \varphi} \sim \frac{2e}{2h} \frac{\Gamma^2 \sin \varphi}{\sqrt{\left(\varepsilon + \frac{U}{2}\right)^2 + \Gamma^2 \cos^2 \frac{\varphi}{2}}}$$



amplitude du canal critique créée par une échelle d'énergie $\ll \Delta$



région doublet: $E_{1/2}$ indép de $\varphi \rightarrow I = 0$

- * au rebours il était vers le gap
- * dans une spectroscopie Raman avec une pointe normale, seuls sont visibles les lignes des processus à 1e



b) Junction π dans l'état doublet:



. Dégenerescence $\varepsilon \approx -U/2$

$U \gg \Delta, \Gamma$

. Hamiltonien effectif $\alpha = L, R$

$$H = \sum_{k\alpha\sigma} \xi_k \delta_{k\alpha\sigma}^\dagger \xi_{k\alpha\sigma} + [t_\alpha \delta_{n\alpha\sigma}^\dagger d_\sigma + h.c.] + E d_\sigma^\dagger d_\sigma + U n_{\alpha\sigma}$$

$$H_{\text{eff}} \approx H_L + H_R = \sum_{\alpha\beta k k' \sigma \sigma'} \left\{ t_\alpha \delta_{k\alpha\sigma}^\dagger d_\sigma \frac{1}{\varepsilon + U} t_\beta^\ast \delta_{\sigma'}^\dagger \xi_{k'\beta\sigma'} + E_\beta^\ast d_\sigma^\dagger \delta_{k'\beta\sigma} \frac{1}{-\varepsilon} t_\alpha \xi_{k\alpha\sigma}^\dagger d_\sigma \right\}$$

$$= \sum_{\alpha\beta k k' \sigma \sigma'} \frac{t_\alpha \delta_{k\alpha\sigma}^\dagger d_\sigma}{\varepsilon + U} t_\beta^\ast \delta_{\sigma'}^\dagger \xi_{k'\beta\sigma'} + \frac{E_\beta^\ast d_\sigma^\dagger \delta_{k'\beta\sigma}}{-\varepsilon} t_\alpha \xi_{k\alpha\sigma}^\dagger d_\sigma$$

$$\approx H_L + H_R + \sum_{k k' \alpha \beta \sigma \sigma'} t_\alpha \delta_{k\alpha\sigma}^\dagger \left(\frac{1}{\varepsilon + U} - \frac{1}{\varepsilon} \right) \xi_{k\alpha\sigma}^\dagger \alpha \beta \sigma \delta_{\sigma'}^\dagger d_\sigma$$

$$- \sum_{k k' \alpha \beta \sigma} t_\alpha \delta_{k\alpha\sigma}^\dagger \frac{1}{\varepsilon + U} \xi_{k\alpha\sigma}^\dagger \delta_{k'\beta\sigma}$$

$$+ \left(\sum_{\alpha \in \Sigma} |t_\alpha|^2 \right) \sum_{\sigma} d_\sigma^\dagger d_\sigma$$

= 1, shift d'énergie global ?

$$\text{spin local} \quad S_z = \frac{1}{2} (d_{\uparrow}^{\dagger} d_{\uparrow} - d_{\downarrow}^{\dagger} d_{\downarrow})$$

$$S_+ = \frac{1}{2} d_{\uparrow}^{\dagger} d_{\downarrow}$$

$$S_- = \frac{1}{2} d_{\downarrow}^{\dagger} d_{\uparrow}$$

$$I = d_{\uparrow}^{\dagger} d_{\uparrow} + d_{\downarrow}^{\dagger} d_{\downarrow}$$

zähler $\varepsilon = -U/2$
 \hookrightarrow (nur positiv)

$$\begin{aligned} H_{\text{eff}} \approx H_L + H_R &= \sum_{\alpha p \alpha' \alpha''} \frac{t_{\alpha} t_{\alpha'}^*}{2} \left(\frac{1}{\varepsilon + U} + \frac{1}{\varepsilon} \right) \epsilon_{\alpha \alpha''} \epsilon_{\alpha' \beta \beta'} \\ &+ \sum_{\alpha \beta \beta' \beta''} t_{\alpha} t_{\beta}^* \left(\frac{1}{\varepsilon + U} - \frac{1}{\varepsilon} \right) \vec{S}_\alpha \cdot \epsilon_{\alpha \alpha''} \vec{\epsilon}_{\beta \beta'} \epsilon_{\beta'' \beta'} \\ &\equiv H_L + H_R + \sum_{\alpha \beta \beta' \beta''} [T_{\alpha \beta} \delta_{\beta \beta''} + T_{\beta \alpha} S_\beta \vec{\epsilon}_{\beta \beta''}] \epsilon_{\alpha \alpha''} \epsilon_{\beta'' \beta'} \end{aligned}$$

• Ehrhardi Andreer: cf Sec II 3) b) $\Rightarrow \vec{S} = S_z \hat{S}_z$ nicht übereinstimmung

$$\begin{aligned} H_{\text{eff}} &\approx \sum_{k \alpha \sigma} \epsilon_{\alpha \beta \gamma} \epsilon_{\beta \alpha' \alpha''} + \frac{1}{2} \sum_{\alpha \beta \alpha' \alpha''} [T_{\alpha \beta} \delta_{\alpha \alpha''} + T_{\beta \alpha} S_\beta] [\delta_{\alpha \alpha''}^{\dagger} \delta_{\beta \beta'}^{\dagger}] \\ &\approx \sum_{k \alpha \sigma} \epsilon_{\alpha \beta \gamma} \epsilon_{\beta \alpha' \alpha''} + \frac{1}{2} \sum_{\alpha \beta \alpha' \alpha''} [T_{\alpha \beta} - T_{\beta \alpha}^* S_\beta] (\delta_{\alpha \alpha''} \delta_{\beta \beta'}) \\ &\qquad \text{matrix} \begin{bmatrix} \sigma J_{LL} S & -i T_{LR} \sin \frac{\theta}{2} + i T_{RL} \cos \frac{\theta}{2} \\ i T_{LR} \sin \frac{\theta}{2} & -\sigma J_{RR} S \end{bmatrix} \end{aligned}$$

→ values prop:

$$\sigma \frac{J_{LL} + J_{RR} S}{2} \pm \sqrt{\left(J_{LL} - J_{RR} \right)^2 + T_{LR}^2 \sin^2 \frac{\theta}{2} + J_{RR}^2 S^2 \cos^2 \frac{\theta}{2}}$$

$J_{LL} = J_{RR} = J_{LR}$ für simplif.

analog für S

Zwei neue Werte von ω mit gleicher:

$$-JS \pm JS \left[\cos \frac{\theta}{2} \right]$$

corresponds to two states with energies

$$E_h = \Delta - 2\Delta \left[\cos^2 \frac{\theta}{2} \right] \left(1 \pm \cos \frac{\theta}{2} \right)$$

$$\begin{aligned}
 E_{tot} &= -\frac{1}{2} (E_{A+} + E_{A-}) \\
 &= + \frac{\Delta (JS)^2}{\pi^2} \left[1 + \cos \frac{q}{2} \right] \\
 I &= \frac{ze}{h} \frac{\partial E_{tot}}{\partial q} \propto - \Sigma S \sin q
 \end{aligned}$$

$$\Rightarrow I_z = I_0 \sin q = I_0 \sin(q + \pi)$$

juste à π

Différence plus importante

entre les deux types

génération polaire d'un domino !

Q.B.:
Configuration nulle
utilisé pour décrire la
spécificité d'une onde des
pôles. L'onde des
pôles passe du bout
à l'autre.



\rightarrow Si tout changement : pas justifié pour un spin $\frac{1}{2}$

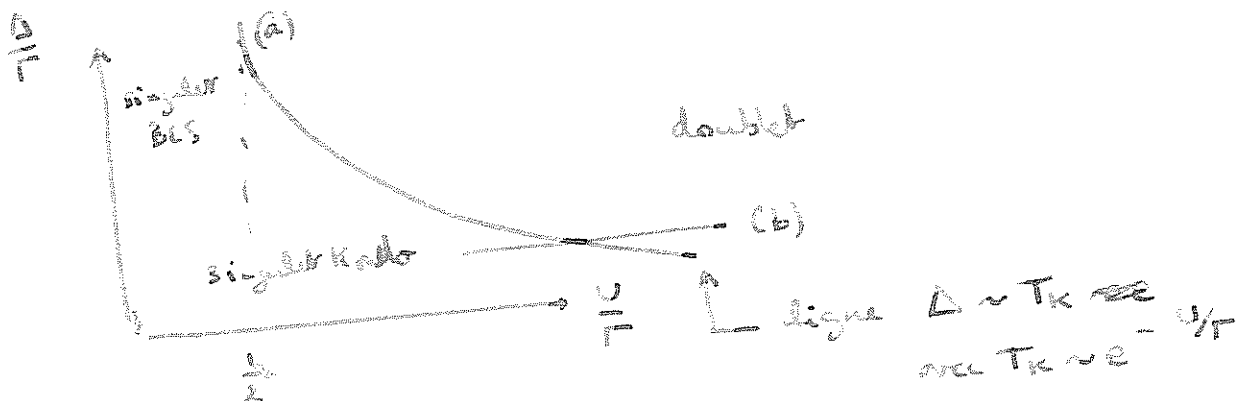
\rightarrow Spin plus grand : 'Etat lié de Rabi - Raman' qui existe même à $q=0$!

[imprimit magétiques dans un superconducteur]

Q.B.: Simplification calcul avec $H_{tot}^T = JS \cdot S + \theta' b + h.c.$

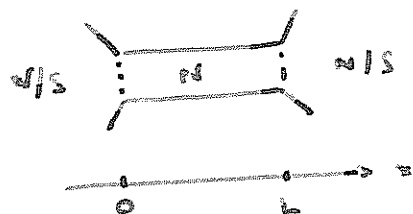
Suffisant ?

Q) Competition effet Kondo / supraconductivité



III - Sections métalliques hybrides

1) Refléxions d'Andreev et d'Audierne multiples de solvants :
bruit et charge effective



• métal diffusif

$$G_{\text{eff}} = \frac{e^2}{L}$$

$$\tau = 2e^2 \sum D_n \quad \text{conductivité de Drude}$$

$$W_{pp'} = 2\pi |U_{pp'}|^2 \delta(\xi_p \cdot \xi_{p'})$$

• coupe

$$\frac{1}{Z} = \sum_{p'} W_{pp'}$$

• Régle de Boltzmann :

- relations isotropes entre les impuretés :

$$\frac{1}{Z} = \frac{1}{Z_{pp'}} = 2\pi \sum_{p'} W_{pp'} \delta(\xi_p \cdot \xi_{p'}) = 2\pi \gamma |U_0|^2$$

\hookrightarrow principe de Drude pour les impuretés

- en négligeant les interactions e-e, e-p...

fonction de distribution $f(\vec{r}, \vec{p}, t) = f(\vec{r}, \epsilon, \hat{p}, t)$

$$\left[\frac{\partial}{\partial t} + \vec{p} \cdot \frac{\partial}{\partial \vec{r}} \right] f(\vec{r}, \vec{p}, t) = I_{\text{ext}} f(\vec{r}, \vec{p}, t) \quad \text{équation de Schrödinger}$$

$$I_{\text{ext}}[\vec{q}_p] = \sum_p (\vec{J}_{pp} - \vec{J}_{pp'})$$

$$\vec{J}_{pp'} = \frac{W_{pp'}}{2\pi} \vec{q}_p (1 - \delta_{pp'})$$

$$\Rightarrow \left[\frac{\partial}{\partial t} + \vec{p} \cdot \frac{\partial}{\partial \vec{r}} \right] f(\vec{r}, \epsilon, \vec{p}, t) = \nu \frac{d\epsilon'}{dt} f(\epsilon') - 2\pi |U_0|^2 \delta(\epsilon - \epsilon') \times [f(\vec{r}, \epsilon', \vec{p}', t) - f(\vec{r}, \epsilon, \vec{p}, t)] \\ = -\frac{1}{\epsilon} [f(\vec{r}, \epsilon, \vec{p}, t) - \langle f(\vec{r}, \epsilon, \vec{p}, t) \rangle]$$

, souvent sous forme d'approximation du temps de relaxation

$$\langle \dots \rangle_p = \frac{\int d\vec{p} \dots}{4\pi} \dots$$

$$\langle \vec{p} \rangle = \langle \vec{p}_0 \rangle$$

- Solutions stationnaires du champ:

$$f(\vec{r}) = \hat{f}_{\epsilon, \vec{r}} + \hat{p} \cdot \vec{F}_{\epsilon, \vec{r}}$$

↑ isotrope ↑ champ harmonique sphérique

en utilisant les éq. de Schrödinger pour \hat{H}_{kin} et \hat{H}_{pot}

on obtient :

$$\frac{\hbar^2}{2m} \nabla^2 \vec{F}_{\epsilon, \vec{r}} = 0$$

$$\nabla_{\vec{p}} \cdot \nabla \vec{F}_{\epsilon, \vec{r}} = -\frac{1}{\epsilon} \vec{F}_{\epsilon, \vec{r}}$$

$$D_n \nabla^2 f_{\epsilon, \vec{r}} = 0$$

$$D_n = \frac{4\pi^2 c}{3} = \frac{4\pi^2}{3} = \text{constante de diffraction}$$

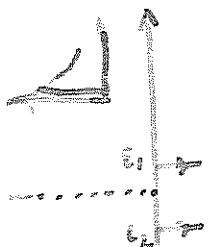
[diffusion à l'infini]

- Conservation du spin

$$\begin{aligned} I &= 2 \int dy dz j_x \\ &= -ie \int dy dz \sum_p \partial_x f(\epsilon, \vec{r}, p, t) \\ &= -\frac{ie\omega}{3} \int dy dz \langle \vec{F}_x(\vec{r}, \epsilon, t) \rangle \\ &\quad \times \delta(\epsilon) \\ &= \frac{G_{el}}{e} \int d\epsilon \partial_x f(\epsilon) \end{aligned}$$

- Conditions de bords:

Supraconducteur à interface



Solution aux-diff. du champ: $f(\epsilon, 0) = f_{\text{ext}}(\epsilon) = f_{\text{in}}(\epsilon + \epsilon_0)$

Condition à la surface supérieure: $f(\epsilon_1, 0) = 1 - f(\epsilon_2, 0) \quad \textcircled{1} \quad (\epsilon_1 + \epsilon_2) \leq \omega$

$$\epsilon_1 + \epsilon_2 = -2\omega$$

$$e f(\epsilon_1, 0) = D f(\epsilon_2, 0)$$

La stabilité du système dépend des deux constantes de voisinage de l'interface $\{g_{\text{in}}(\epsilon_1) < f(\epsilon_2)\}$ et même conditionnée par la distance de l'onde.

Par exemple: $G_{el} f(\epsilon) = G_{el} [f(\epsilon) + f(-\epsilon) - 1] \ll G_{el}$

$$\text{Ex: pour l'annulation: } G_{el} f(\epsilon) = G_{el} [f(\epsilon) + f(-\epsilon) - 1] \ll G_{el}$$

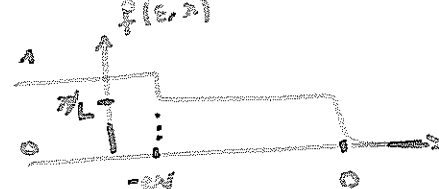
Remarque: à contributif à double négatif: $G_F \gg G_N$
 \hookrightarrow pas de pôle pour d'autre $G_F \gg G_N$
 * réflexions en rotors
 1er cas: diffraction $\epsilon \rightarrow \epsilon + eV(r)$ dans le filet
 complexe de $r_{\text{rot}} = eE \cdot \partial_F r$

• $n/n/N$:

$$f(\epsilon, z) = f_0(z) \frac{z}{\epsilon} + f_0(\epsilon + eV) \left(1 - \frac{z}{\epsilon}\right)$$

$$\hookrightarrow \partial_z f(\epsilon, z) = f_0(z) - f_0(\epsilon + eV)$$

$$[I = G_N V]$$



double négatif

$n/n/D$: $eV \ll D$ $\epsilon \ll D$

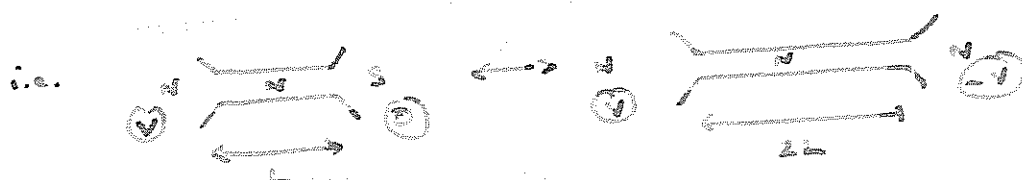
$$f(\epsilon, z) = f_0(z) \frac{z}{\epsilon} + f_0(\epsilon + eV) \left(1 - \frac{z}{\epsilon}\right)$$

$$f(-\epsilon, z) = f_0(-\epsilon, z) \frac{z}{\epsilon} + f_0(-\epsilon + eV) \left(1 - \frac{z}{\epsilon}\right)$$

$$= -f_0(\epsilon, z)$$

$$f_0(\epsilon, z) - f_0(\epsilon + eV) = -f_0(\epsilon, z) - f_0(\epsilon + eV) \\ = -f_0(\epsilon, z) - 1 + f_0(\epsilon + eV)$$

$$\text{i.e. } f(\epsilon, z) = \frac{1}{2} \left[(f_0(z) + f_0(\epsilon + eV)) \right]$$



$$[I = \frac{G_N V}{2} + 2V = G_N V]$$

($\neq \cdot G_{NS} = 2G_{NN}$ pour !)
 & contact ballistique !)

N.B.: cette relation reste valable $eV \ll D$

$G_N \ll G_{NN}$ pour
 contact réel !

$$f(\epsilon, z) = f_0(\epsilon - eV) \frac{z}{\epsilon} + f_0(\epsilon + eV) \left(1 - \frac{z}{\epsilon}\right)$$

double négatif

$\epsilon \ll \Delta$ $\epsilon, \omega \ll \Delta$

$f(\epsilon) \approx f_{\text{rest}}(\epsilon)$

mais sous $\epsilon \gg \Delta$: effacement des multitudes

\rightarrow fonction de distribution continue vers d'effacement
lorsque $V \rightarrow 0$!

conditions de bords:

$$\begin{aligned} x=0 & \quad f(\epsilon_0 eV, 0) = 1 - f(-\epsilon_0 eV, 0) \\ & \quad f(\epsilon_0 eV, \epsilon) - f(\epsilon_0 eV, 0) = f(-\epsilon_0 eV, \epsilon) - f(-\epsilon_0 eV, 0) \end{aligned}$$

$$\begin{aligned} x=L & \quad f(\epsilon, L) = 1 - f(-\epsilon, L) \\ & \quad f(\epsilon, L) - f(\epsilon, 0) = f(-\epsilon, L) - f(-\epsilon, 0) \end{aligned}$$

$$(1) + (2) \rightarrow f(\epsilon, \epsilon) = \frac{1}{2} [1 + f(\epsilon, 0) - f(-\epsilon, 0)]$$

$$(1) + (2) \rightarrow f(\epsilon_0 eV, 0) = \frac{1}{2} [1 + f(\epsilon_0 eV, \epsilon) - f(-\epsilon_0 eV, \epsilon)]$$

$$(1) \text{ dans } (3) \rightarrow f(\epsilon, L) = \frac{1}{2} [f(\epsilon, 0) + f(\epsilon_0 eV, 0)]$$

$$\rightarrow 1 = \frac{1}{2} [f(\epsilon - \epsilon_0 eV, 0) + f(-\epsilon, 0)]$$

$$(2) \text{ dans } (3) \text{ i.e. } f(\epsilon, 0) = \frac{1}{2} [1 + \frac{1}{2} (f(\epsilon, 0) + f(\epsilon_0 eV, 0))]$$

$$= \left(1 - \frac{1}{2} \right) [f(\epsilon, 0) + f(\epsilon_0 eV, 0)]$$

$$\therefore f(\epsilon, 0) - f(\epsilon_0 eV, 0) - f(\epsilon - \epsilon_0 eV, 0) = 0$$

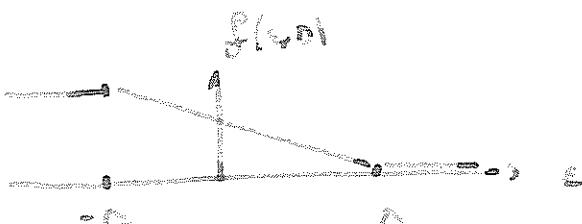
$$\boxed{\frac{\partial^2}{\partial \epsilon^2} f(\epsilon, 0) = 0}$$

diffusion en énergie

$(\epsilon \rightarrow 0)$

$$\therefore f(\epsilon, \epsilon) - f(\epsilon, 0) = \frac{1}{2} [f(\epsilon - \epsilon_0 eV, 0) - f(\epsilon, 0)]$$

$$= -\frac{eV}{3\epsilon} \frac{\partial^2 f(\epsilon, 0)}{\partial \epsilon^2}$$



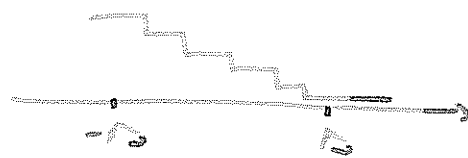
$$I = G_{\mu} \left(\frac{d}{dx} \frac{\partial^2 f}{\partial \epsilon^2} \right)_{x=0} \frac{1}{\sqrt{2}}$$

$$I = G_{\mu} V$$

$$f(\epsilon, \epsilon) = f(\epsilon - \frac{1}{2} \epsilon)$$

Si on ne voit pas $\Delta N \ll \Delta$

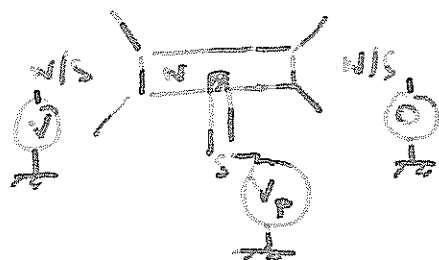
On parle de fluctuations d'distribution



\rightarrow un décalage stochastique $I = 6_{\text{av}} V$

(pas de SGS dans cette limite, bien que l'émission MAR !)

NB: On peut mesurer la fluctuation d'distribution à l'aide d'équilibre en utilisant une spectroscopie fluorescente pour faire apparaître la densité d'énergie connue.



b) Bruit

\rightarrow cas où $I = 6_{\text{av}} V$ mais plusieurs de temps très différents
 \hookrightarrow fluctuation de courant: s'il y a la diff. de bruit quel que soit le temps

$$\begin{aligned} I(t) \\ \Leftrightarrow \text{fluctuation de courant} \end{aligned}$$

$$S = 2\pi \int_0^{\infty} \langle I(t+\tau)I(t) \rangle$$

\Leftrightarrow : moyen temporel
 (bruit blanc)

signe de fluctuations = collision électron-neutre importante.

- Fonction de Boltzmann - Lévy
- introduit par Kagan & Shulman dans les fluences
- et adapté par Nagare - flouissement microscopique

$$\delta_{\frac{d}{dt}} = \bar{\delta}_{\frac{d}{dt}} + \delta_{\frac{d}{dt}}$$

→ Distortionless
→ evolution towards δ)

$$[\partial_t + \nabla \partial_{\vec{r}}] (\bar{\delta}_{\frac{d}{dt}} + \delta_{\frac{d}{dt}}) = I[\bar{\delta}_{\frac{d}{dt}} + \delta_{\frac{d}{dt}}] + \delta I_p$$

source & Lagniage

$$I_p = \sum_{p'} \bar{I}_{p'p} - I_{pp'}$$

collisions are independent = process variables:
(expressed as: collisions are independent)

$$\langle \delta \bar{I}_{p_1 p_3}(\vec{r}, t) \delta \bar{I}_{p_2 p_4}(\vec{r}', t') \rangle = \sum_{p' p''} \delta(\vec{r}-\vec{r}') \delta(t-t') \bar{I}_{p_1 p_3}(\vec{r}, t) \bar{I}_{p_2 p_4}(\vec{r}', t')$$

$$\begin{aligned} \langle \delta \bar{I}_{p_1}(\vec{r}, t) \delta \bar{I}_{p_2}(\vec{r}', t') \rangle &= \sum_{p_3 p_4} \langle (\delta \bar{I}_{p_1 p_3} - \delta \bar{I}_{p_1 p_4}) (\delta \bar{I}_{p_2 p_3} - \delta \bar{I}_{p_2 p_4}) \rangle \\ &= \sqrt{\delta(\vec{r}-\vec{r}') \delta(t-t')} \left[\delta_{pp'} \sum_{p_3} \bar{I}_{p_1 p_3} \times \bar{I}_{p_2 p_3} \right. \\ &\quad \left. - \bar{I}_{p_1 p_2} - \bar{I}_{p_2 p_1} \right] \end{aligned}$$

$$[\partial_t + \nabla \partial_{\vec{r}}] \delta_{\frac{d}{dt}} = -\frac{1}{2} (\delta_{pp} - \delta_{\frac{d}{dt} \frac{d}{dt} p}) + \delta I_p$$

→ no memory or $\delta_{\frac{d}{dt} \frac{d}{dt} p}$ or $\delta_{\frac{d}{dt} \frac{d}{dt} p} \neq 0$

→ no negative feedback δ_{pp} ($\omega \ll \frac{1}{t}$)

~~$$\delta \cdot \delta \bar{F} = \sum_{p_1 p_2} \sum_{p_3 p_4} (\delta \bar{I}_{p_1} - \delta \bar{I}_{p_2}) (\delta \bar{I}_{p_3} - \delta \bar{I}_{p_4}) = 0 \quad (p_1 = p_2, \text{ not } p_3 = p_4)$$~~

$$\delta \cdot \delta \bar{F}_{pp} = -\frac{1}{2} \delta \bar{F} + \delta \sum_{p_3 p_4} \delta \bar{I}_{p_1} \delta \bar{I}_{p_3}$$

$$\delta I(p) = -\frac{e^{i k p}}{2} \int d\vec{r} d\vec{r}' d\epsilon \delta \bar{F}_p(\epsilon, \vec{r}, t) \quad p = \frac{d}{dt}$$

$\int d\vec{r} d\vec{r}'$ can be viewed as constant

$$= e^{i k p} \delta \bar{F} \int d\vec{r} d\vec{r}' \delta_{pp} \delta \bar{I}_p$$

$$\delta I(t) = \frac{e^2 \epsilon_0}{2} \left(\frac{\partial V}{\partial t} \sum_i p_i \delta I_p \right) \quad \text{from right}$$

$$\langle \delta I(t) \delta I(t') \rangle = \frac{2(e^2 \epsilon_0)^2}{\pi} \left(\frac{\partial V}{\partial t} \right)^2 \sum_i p_i \delta I_p \sum_{p_1, p_2} \langle \delta I_{p_1}(t) \delta I_{p_2}(t') \rangle$$

$$= \frac{2(e^2 \epsilon_0)^2}{\pi} \sqrt{\frac{\partial V}{\partial t}} \delta(t) + \frac{2e}{3} (de \times dI) \frac{1}{\pi} \frac{1}{2}$$

$$= 2 \cdot \left(2e^2 \cdot \frac{1}{3} \right) \frac{1}{\pi} \delta \left(\frac{dx}{dt} \right) \left(de \cdot \frac{dI}{dt} \right)$$

$$S = 4G_N \int \frac{dx}{dt} \left[f e \frac{dI}{dt} \right]$$

\Rightarrow Equations: $S = 2eI \cdot \frac{dI}{dt} = T \quad S = 4G_N T$

\Rightarrow Min/Max: $S = 4G_N \cdot eV \cdot \int dx \delta(t \cdot g) = 2eI \cdot \frac{1}{3}$

reduktiv idealisierte unter

(buntes Band \rightarrow Schottky)

= mit polarisier. Sch. I

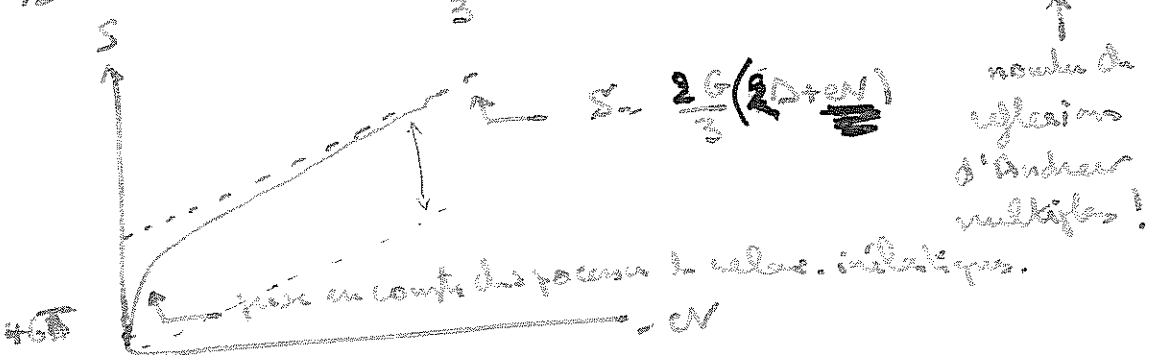
(transp. Schottky)

\Rightarrow Min/Max: $S = 2eI \cdot \frac{1}{3} = 2e \cdot \cancel{(e^* c^* I)} \cdot \frac{1}{3}$

$e^* = 2e$ Charge effekte durch effekt. Andreu

\approx : durch $c^* = \frac{e}{m}$ die Colder-Hall fraction-gibt

\Rightarrow Min/Max: $S = \frac{4G_N}{3} \cdot 2e^* I \cdot \frac{1}{3} \quad e^* = \frac{2D}{e^2} e$



2) Effets cohérents dans les jardins SNS balistiques

- $$\begin{cases} \epsilon_1 = v_F(k_x - k_F) \\ \epsilon_2 = -v_F(k_x + k_F) = -\epsilon_1 \end{cases}$$

$$k_1 = k_F + \frac{\epsilon}{v_F}$$

$$k_2 = -k_F + \frac{\epsilon}{v_F}$$

en un temps de temps:

$$k_x = k_F \pm \frac{\epsilon}{v_F}$$

$$\delta k = \frac{2\epsilon}{v_F}$$

La fonction d'un état lié :

$$s_i = \frac{4\epsilon L}{v_F} + 2 \arcsin \frac{\epsilon}{\Delta} + \varphi = 2n\pi$$



→ compétition de deux échelles d'énergie $\frac{4\epsilon}{L}$ et Δ

→ $\varphi = 0$ minigap $\approx \min[\Delta, \frac{4\epsilon}{L}]$ 

Le minigap se ferme à $\varphi = \pi$

→ $\frac{4\epsilon}{L} \ll \Delta$: plusieurs états sont dans le gap

$$\epsilon_n \approx \pm \frac{\pi v_F}{4L} \left(n + \frac{1}{2} + \frac{\varphi}{2\pi} \right)$$

d'après ce que \Rightarrow canal critique tel que

$$eR_N I_C \sim \frac{4\epsilon}{L}$$

NB: grande ressemblance avec

les canaux permanents

dans un canard balistique normal

→ obtenu d'une paire d'Andreev: $L_s \sim \frac{4\epsilon}{\epsilon}$

obtenu d'une paire d'Andreev: $L_s \sim \frac{4\epsilon}{\epsilon}$

i.e. longue partie pour $\epsilon \rightarrow 0$

limitée par L_g, L_T (mais pas $\frac{4\epsilon}{\epsilon}$!)

Calcul important

→ Démontration: \times existence du gaps

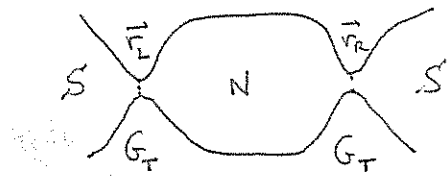
$$\times L_{gap, \epsilon} \approx \sqrt{E_L \epsilon} = \sqrt{\frac{E}{\epsilon}} ?$$

→ autres aspects dans le plan N: scénarios exotiques (réflexion d'Andreev spéciale dans le graphène)

NB: formulation des équations de Bogoliubov-de Gennes.

3) Fonctions SINTS diffusions

- Calcul des coups cur. que d'une junction



$$G_T = \frac{2e^2}{h} T$$

$$T = 4\pi^2 \nu_S v_N t^2$$

Δ appr. grand → transfert de paires de Cooper à paires d'Andreev avec le Hamiltonien effectif:

~~$H_{eff} = -\mu_N \delta_{\alpha\beta}$~~

~~$= -\mu_N \delta_{\alpha\beta}$~~

$$H = H_N + H_{T\alpha} + H_{T\beta}$$

$$H_N = \sum_k \xi_k b_k^\dagger b_k$$

k label pour le état viss dans N
(pas l'anti-pairs)

D'après le Sec. II) 2)b):

$$H_{T\alpha} = -\mu_N t^2 e^{i\varphi_\alpha} \sum \psi_\uparrow^+(r_\alpha) \psi_\downarrow^+(r_\alpha) + h.c.$$

Au second ordre dans les Hamiltoniens $H_{T\alpha}$, on trouve une contribution à l'énergie dépendant de $\varphi = \varphi_L - \varphi_R$:

$$\begin{aligned} E_3(\varphi) &= - \left\langle H_T \frac{1}{H_N} H_T \right\rangle_{GS} \\ &= -e^{-i\varphi} (\mu_N t^2)^2 \left\langle \psi_\uparrow^+(r_L) \psi_\downarrow^+(r_L) \frac{1}{H_N} \psi_\downarrow(r_L) \psi_\uparrow(r_L) \right\rangle_{GS} \\ &\quad - e^{-i\varphi} (\mu_N t^2)^2 \left\langle \psi_\downarrow(r_L) \psi_\uparrow(r_L) \frac{1}{H_N} \psi_\uparrow^+(r_R) \psi_\downarrow^+(r_R) \right\rangle_{GS} \\ &\quad + c.c. \end{aligned}$$

En introduisant les fonctions d'ordre exacts:

$$\psi_\alpha(r) = \sum_k \chi_{\alpha k}(r) a_{k\alpha}$$

on trouve

$$\begin{aligned} E_3(\varphi) &= -e^{-i\varphi} (\mu_N t^2)^2 \sum_{kl} \left(\chi_{\alpha k}^*(r_L) \chi_{\alpha l}^*(r_R) \frac{f(\xi_k) f(\xi_l)}{-\xi_k - \xi_l} \chi_m(r_L) \chi_n(r_R) \right. \\ &\quad \left. + \frac{[1-f(\xi_k)][1-f(\xi_l)]}{\xi_k + \xi_l} \right) \\ &\quad + c.c. \end{aligned}$$

i.e. $E_3(\varphi) = -2\omega\varphi (\mu_N t^2)^2 \int d\xi d\xi' \frac{1-f(\xi) - f(\xi')}{\xi + \xi'} K_S(r_L r_R) K_{S'}(r_L r_R)$

$$\text{Or } K_{\vec{s}}(r_1, r_2) = \sum_m \chi_m(r_1) \chi_m(r_2) \delta(\vec{s} - \vec{s}_m) \quad \text{fonction spectrale}$$

- Moyenne sur l'onde : $\langle K(r_1, r_2) \rangle$ à constante vitesse \rightarrow nul
dès que $|r_1 - r_2| \gg \ell$ (l'onde passe moyennement)

MAIS : $\langle K \cdot K \rangle$ a une contribution à longue portée !
cf. cours G. FlouNambaux.

$$K = \frac{1}{2i\pi} [G^R - G^A]$$

$$\langle K_1 K_2 \rangle = \frac{1}{4\pi^2} (\langle G^R_1 G^A_2 \rangle + \langle G^A_1 G^R_2 \rangle)$$

$$\overbrace{\hspace{1cm}} = \overbrace{\hspace{0.5cm}} + \overbrace{\hspace{0.5cm}} + \overbrace{\hspace{0.5cm}} + \dots$$

$$= \overbrace{\hspace{0.5cm}} + \overbrace{\hspace{0.5cm}}$$

$$\langle U(r) U(r') \rangle = U_0^2 \delta(r-r')$$

$$\frac{1}{2} = 2\pi \times U_0^2$$

avec $\boxed{\hspace{0.5cm}} = \vdots + \overbrace{\hspace{0.5cm}}$

$$\Pi_{\vec{s}-\vec{s}'}(r, r') = U_0^2 \delta(r-r') + U_0^2 \int dr'' G_{\vec{s}}^R(r, r'') G_{\vec{s}'}^A(r', r'') \Pi_{\vec{s}-\vec{s}'}(r'', r')$$

$$\Pi_{\vec{s}-\vec{s}', k} = U_0^2 \left[1 + \sum_p G_{\vec{s} p}^R G_{\vec{s}' p}^A \Pi_{\vec{s}-\vec{s}'}(k) \right]$$

$$\Pi_{\vec{s}-\vec{s}', k} = \frac{U_0^2}{1 - U_0^2 \sum_p G_{\vec{s} p}^R G_{\vec{s}' p}^A}$$

$$\int \frac{d^3 p}{(2\pi)^3} \frac{1}{\vec{s} - \vec{s}_p + \frac{i}{2\epsilon}} \frac{1}{\vec{s}' - \vec{s}_{p+k} - \frac{i}{2\epsilon}} = \nu \int \frac{d\Omega_p}{4\pi} \frac{1}{(\vec{s} - \vec{s}_p + \frac{i}{2\epsilon})(\vec{s}' - \vec{s}_p + \frac{i}{2\epsilon})}$$

$$= \nu \int \frac{d\Omega_p}{4\pi} \cdot 2\pi \frac{1}{\vec{s} - \vec{s}' - \nu \cdot k + \frac{i}{2}}$$

$$\approx 2\pi \nu \int \frac{d\Omega}{4\pi} \frac{1}{1 - i\varepsilon(\vec{s} - \vec{s}') + i\omega \vec{s} \cdot \vec{k}}$$

$$\approx 2\pi \nu \left[1 + i\varepsilon(\vec{s} - \vec{s}') - \omega^2 k^2 \right]$$

$$\text{i.e. } \Pi_{\vec{s}-\vec{s}', k} = \frac{U_0^2}{2} \frac{1}{\omega(\vec{s} - \vec{s}') + D k^2}$$

$$= \frac{1}{2\pi \nu \omega^2} \frac{1}{D k^2 - i(\vec{s} - \vec{s}')}}$$

"Diffusion"

$$\text{i.e. } \text{Fadis que } \int dr \langle G^2(r, r) \rangle \langle G^A(rr_2) \rangle \approx \frac{\int d\mathbf{p} \langle G^2(p) \rangle \langle G^A(p) \rangle}{(2\pi)^3} \approx 2\pi v_Z$$

$$\text{i.e. } E_S(\varphi) = -2\omega \varphi (\pi v_Z t)^2 \frac{1}{4\pi^2} (2\pi v_Z)^2 \approx \frac{1}{2\pi v_Z t^2} *$$

$$* 2 \operatorname{Re} \int d\zeta d\bar{\zeta}' \frac{1-f(\zeta)-f(\zeta')}{\zeta+\zeta'} \sum_n \frac{e^{ik(r_1-r_2)}}{Dk^2 - i(\zeta-\zeta')}$$

$$= -\frac{1}{8\pi^3 v_Z} \underbrace{(4\pi^2 v_Z t^2)^2}_{J^2} \omega \varphi \operatorname{Re} \int d\zeta d\bar{\zeta}' \frac{1-f(\zeta)-f(\zeta')}{\zeta+\zeta'} \sum_n \frac{e^{ik(r_1-r_2)}}{Dk^2 - i(\zeta-\zeta')}$$

Transmition
channel

$$I_c = \frac{J^2 \delta}{8\pi^3} \underbrace{\operatorname{Re} \int d\zeta d\bar{\zeta}' \frac{1-f(\zeta)-f(\zeta')}{\zeta+\zeta'}}_{\sum_n} \sum_n \frac{e^{ik(r_1-r_2)}}{Dk^2 - i(\zeta-\zeta')} + \frac{e^{ik(r_1-r_2)}}{Dk^2 + i(\zeta-\zeta')}$$

$$\sum_n e^{ik(r_1-r_2)} \underbrace{\int d\epsilon d\omega \frac{1-f(\epsilon+\frac{\omega}{2})-f(\epsilon-\frac{\omega}{2})}{2\epsilon} \left(\frac{1}{Dk^2 - i\omega} + \frac{1}{Dk^2 + i\omega} \right)}_{\sum_n}$$

$$T \sum_{i\omega_N} \underbrace{\int d\epsilon d\omega \left(\frac{1}{\epsilon + \frac{\omega}{2} + i\omega_N} + \frac{1}{\epsilon - \frac{\omega}{2} - i\omega_N} \right) \left(\frac{1}{Dk^2 - i\omega} + \frac{1}{Dk^2 + i\omega} \right)}_{\sum_n}$$

$$T \sum_{i\omega_N} \underbrace{\int d\omega \left(\frac{1}{Dk^2 - i\omega} + \frac{1}{Dk^2 + i\omega} \right) \frac{d\epsilon}{(\epsilon + \frac{\omega}{2} + i\omega_N)(\epsilon - \frac{\omega}{2} - i\omega_N)}}_{\cancel{\sum_n}}$$

$$T \sum_{i\omega_N > 0} \underbrace{\int d\omega \left(\frac{1}{Dk^2 - i\omega} + \frac{1}{Dk^2 + i\omega} \right) + 2\pi i \left(\frac{1}{\omega + 2i\omega_N} - \frac{1}{-\omega + 2i\omega_N} \right)}_{\sum_n}$$

$$2\pi T \sum_{i\omega_N > 0} (2\pi i) \left[\frac{-1}{Dk^2 + 2i\omega_N} + \frac{-1}{Dk^2 - 2i\omega_N} \right]$$

$$8\pi^2 T \sum_{i\omega_N > 0} \frac{1}{Dk^2 + 2i\omega_N}$$

$I_c = \frac{J^2 \delta}{\pi} T \sum_{\omega > 0} \sum_n \frac{e^{ik(r_1-r_2)}}{Dk^2 + 2i\omega_N}$

$$\text{** "2ω-mod" approx. } I_c = \frac{e D^2 F}{4\pi^2} \ln \left(\frac{\Omega_{\max}}{T} \right) \quad T \ll E_F$$

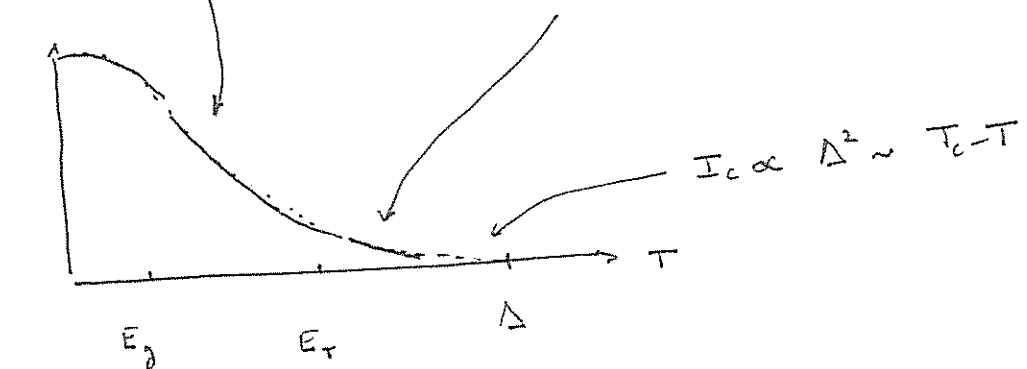
* $E_F \ll T \ll \Delta$

$$[-D\vec{N}^2 + 2\omega] P = \delta(r_+ - r_-)$$

$$DQ^2 = 2\omega$$

$$P(Q, L) = \frac{1}{DQ \sinh QL} \approx \begin{cases} \frac{2}{DQ} e^{-QL} & QL \gg 1 \\ \left(\frac{1}{2L DQ}\right)^2 & QL \ll 1 \end{cases}$$

$$I_c = e \frac{D^2 F}{\pi} \times \frac{L}{D_n} \sqrt{\frac{D_n}{2\pi T}} e^{-\sqrt{\frac{2\pi T}{D_n/L^2}}} = \frac{e D^2 F}{\pi^2} \left(\frac{L}{E_F}\right)^{1/2} e^{-\left(\frac{2\pi T}{E_F}\right)^{1/2}}$$



longue portée : supposant $I_c \propto e^{-\frac{L}{E_F}}$ même
quand $L \gg \xi_s = \sqrt{\frac{D_n}{\Delta}}$

NB: * disegno dog \rightarrow effet de proximité = non perturbatif

$$E_g = \cancel{G_F} \cancel{G_Q} \delta = \Gamma \quad \text{minigap}$$

* $e R_F I \sim E_g$ (Ambiguishan Baratoff)

* Formalisme pour calculer l'effet de proximité diffusif
non perturbatif : Equations quasi-linéaires d'Usadel (N.L.)

4) Junctions supraconductrices - ferromagnétiques:

a) Effet du progrès intérieur oscillant à haute fréquence

confrontation de deux ordres antagonistes

SIFIS :

↑
champ d'échange agissant sur les électrons d'induction.

$$\begin{cases} H_z = \mu_B B \hat{S}_z \\ H_{ex} = \sum_i J \bar{S}_i \hat{S}_j \delta(r-r_i) \end{cases} \quad \langle \bar{S}_i \rangle = S \hat{z}$$

$$h = \mu_B B \text{ ou } n \bar{J} \langle S \rangle$$

le calcul précédent reste valable avec ~~$C_{ij\sigma}, G_{ij\sigma}$~~ .

i.e. $\xi - \xi' \rightarrow \xi - \xi' \pm 2h$ dans la diffusion

i.e. $I_c = \frac{e D^2 \delta T}{\pi} \operatorname{Re} \sum_{\omega > 0} \sum_k \frac{e^{ik(r_L-r_R)}}{Dk^2 + 2(\omega + ih)}$

$$\hookrightarrow I_c \approx e \frac{D^2 \delta T}{\pi} \times \left(\frac{h}{2\pi T} \right) \times \operatorname{Re} \frac{2L}{D_F Q_n} e^{-Q_n L}$$

$$Q_n = \sqrt{\frac{2ih}{D_F}} \approx (1+i) \sqrt{\frac{h}{D_F}}$$

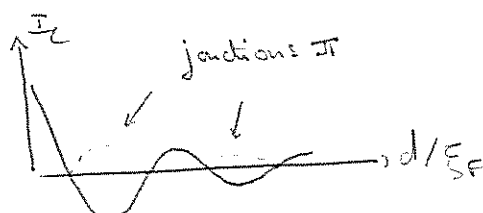
$$\approx \frac{e D^2 \delta T}{\pi} \frac{h}{E_F} \sqrt{\frac{2L}{\xi_F}} e^{-\frac{L}{\xi_F}} \cos\left(\frac{L}{\xi_F} + \frac{\pi}{4}\right)$$

~~graph~~

pour $h \gg T, E_F$

comme partiel : $L \lesssim \xi_F$

oscillations : sur la même échelle



- NB : FFLO : Superfluidité et magnétisme (de Pauli) antagonistes $h_c = \Delta$
pour le transition du 1^{er} ordre \downarrow
→ phase modulée possible
- $k_F \uparrow - k_F \downarrow = \frac{2h}{v_F}$ $\Delta(x) \sim \Delta e^{i \delta k x}$

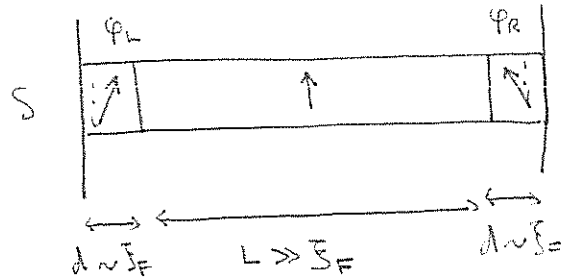
b) Effet de proximité très large parée :

~~Hébégement~~

injection de paires $\uparrow\uparrow$ ou $\downarrow\downarrow$: pas de déphasage d'spin dans la couche F !

↳ pas possible dans le cadre du modèle étudié en 4)a)

mais



$$I_c \sim I_{cN} \sin \phi_R \sin \phi_L + I_{cN} e^{-L/\xi_F}$$

